

9.5W防削顶双声道D类音频功率放大器

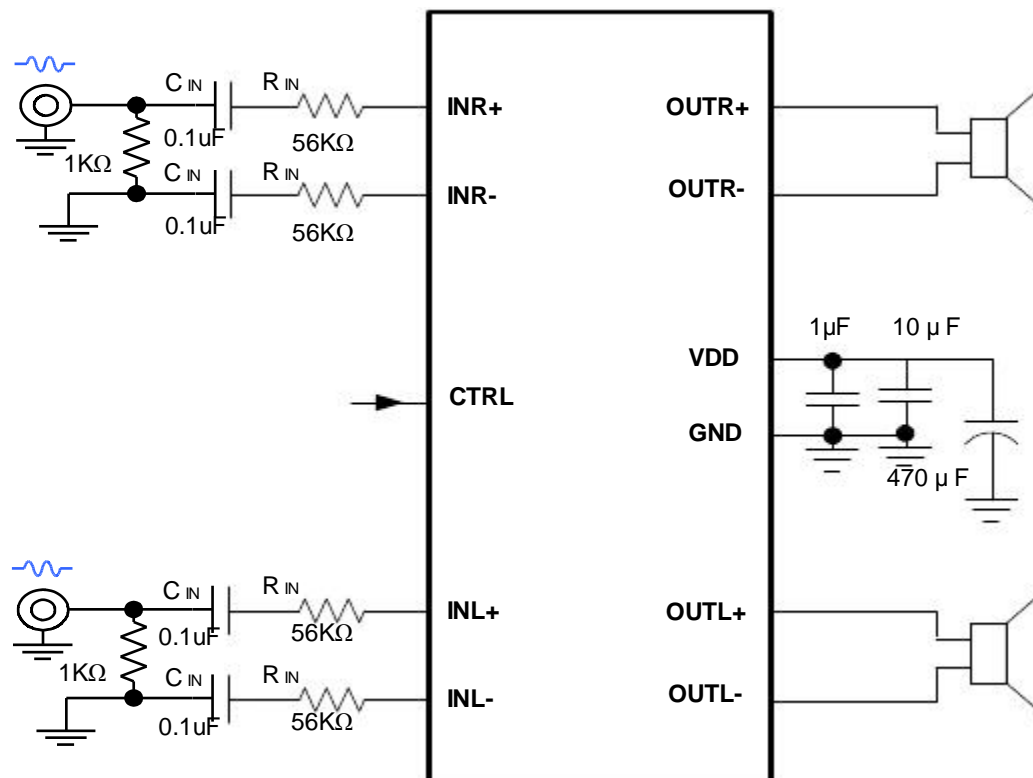
■ 特点

- 防削顶失真功能(Anti-Clipping Function, ACF)
- 免滤波器数字调制, 直接驱动扬声器
- 输出功率
 - $2 \times 9.5W$ ($V_{DD}=8.5V, R_L=4\Omega, T_{JTM8410D+N}=10\%$)
 - $2 \times 6.7W$ ($V_{DD}=7.2V, R_L=4\Omega, T_{JTM8410D+N}=10\%$)
- 过流保护功能
- 过热保护功能
- 欠压异常保护功能
- 无铅无卤封装, SOP16L-PP

■ 应用

- 蓝牙音箱
- 2.1声道小音箱
- iphone/ipod/ipod docking
- 平板电脑, 笔记本电脑
- 小尺寸LCD电视/监视器
- 便携式音箱
- 扩音器
- 拉杆音箱
- 便携式游戏机
- MP4, 导航仪

■ 典型应用图



■ 概述

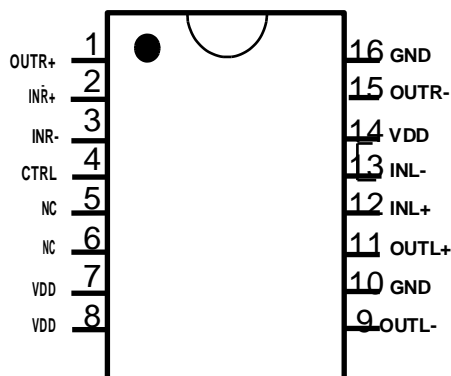
JTM8410是一款防削顶失真的, 双声道免滤波D类音频功率放大器。在 $V_{DD}=8.5V$ 、 $T_{JTM8410D+N}=10\%$ 、 4Ω 负载条件下, 能连续输出 $2 \times 9.5W$ 功率。

JTM8410具有防削顶失真(ACF)输出控制功能, 可检测并抑制由于输入音乐、语音信号幅度过大所引起的输出信号削顶失真(破音), 显著提高音质, 创造舒适听音享受, 并保护扬声器免受过载损坏。同时芯片也具有ACF-Off模式可配置。

JTM8410内部集成免滤波器数字调制技术, 能够直接驱动扬声器, 并最大程度减小脉冲输出信号的失真和噪音。输出无需滤波网络, 极少的外部元器件节省了系统空间和成本, 是便携式应用的理想选择。

此外, JTM8410内置的关断功能使待机电流最小化, 还集成了输出端过流保护、片内过温保护和电源欠压异常保护等功能。

■ 引脚信息



SOP16L-PP顶视图

■ 引脚定义*1

SOP 引脚号	引脚 名称	I/O	功能
1	OUTR+	O	右声道同相输出端 (BTL+)
2	INR+	A	右声道同相输入端 (差分+)
3	INR-	A	右声道反相输入端 (差分-)
4	CTRL	I	ACF和关断模式控制端
5,6	NC		
7,8,14	VDD	Power	电源
9	OUTL-	O	左声道反相输出端 (BTL-)
10,16	GND	Ground	地
11	OUTL+	O	左声道同相输出端 (BTL+)
12	INL+	A	左声道同相输入端 (差分+)
13	INL-	A	左声道反相输入端 (差分-)
15	OUTR-	O	右声道反相输出端 (BTL-)

注1 I: 输入端 O: 输出端 A: 模拟端

当大于VDD的电压外加于PN保护型端口 (ESD保护电路由PMOS和NMOS组成) 时, PMOS电路将有漏电流流过。

■ 订购信息

JT M 8 4 1 0 XX

封装形式

产品型号	封装形式	顶面标记	工作温度范围	包装和供货形式
JTM8410	SOP16L-PP	JTM8410 XXXX ^{*2}	-40℃~85℃ (扩展工业级)	管装 50片/管

注2: XXXX为内部生产跟踪随机编码。

注: 除特殊说明外, 以下页面的数据内容均针对SOP16L-PP封装形式的JTM8410M8410型号产品。

■ 电气特性

● 极限工作条件*1

参数	符号	最小值	最大值	单位
电源电压范围	V_{DD}	-0.3	9.3	V
输入信号电压范围 (IN+, IN-)	V_{IN}	$V_{SS}-0.6$	$V_{DD}+0.6$	V
输入信号电压范围 (除IN+, IN-外)	V_{IN}	$V_{SS}-0.3$	$V_{DD}+0.3$	V
工作环境温度范围	T_A	-40	85	°C
工作结温范围	T_J	-40	150	°C
储存温度	T_{STG}	-50	150	°C

注1: 为保证器件可靠性和寿命, 以上绝对最大额定值不能超过。否则, 芯片可能立即造成永久性损坏或者其可靠性大大恶化。若输入端电压在可能超过VDD/GND的应用环境中使用, 推荐使用一个外部二极管来保证该电压不会超过绝对最大额定值。

● 推荐工作条件

参数	符号	条件	最小值	典型值	最大值	单位
电源电压*2	V_{DD}		3		9.0	V
工作环境温度	T_a		-40	25	85	°C
扬声器阻抗	R_L			4		Ω

注2: VDD的上升时间应当超过1 μ s。

● 电气特性*3

$V_{SS}=0V$, $T_a=25^\circ C$, $C_{IN}=0.1\mu F$, $R_{IN}=56k$, 除非特殊说明

参数	符号	条件	最小值	典型值	最大值	单位
V_{DD} 电源的启动阈值	V_{UVLH}			2.3		V
V_{DD} 电源的关断阈值	V_{UVLL}			2.2		V
上电启动时间 (或从关断唤醒时间)	t_{STUP}			280		ms
载波调制频率	f_{PWM}			430		kHz
D类过流保护值	I_{max}				5	A
通道隔离度	CS	L -> R	f = 1kHz, Po = 1W		-105	dB
		R -> L			-90	
ACF Function						
Class D ACF衰减增益	Aa		-16		0	dB
ACF-Off 模式设置阈值	V_{MOD1}		$0.75V_{DD}$		V_{DD}	V
ACF-1 模式设置阈值	V_{MOD2}		$0.45 V_{DD}$		$0.70 V_{DD}$	V
ACF-2 模式设置阈值	V_{MOD3}		$0.10 V_{DD}$		$0.40 V_{DD}$	V
SD 关断模式设置阈值	V_{MOD4}		V_{SS}		$0.06 V_{DD}$	V
SD恢复启动电压*4	V_{CTRL_ON}		0.8			V
CTRL内部下拉电阻	R_{CTRL}			60		K Ω

注3: 此节电气特性随所选元件和PCB布局而有所变化。

注4: SD恢复启动电压是指, 芯片从关断至启动, CTRL端的电压值。

$V_{DD} = 8.5V$, $V_{SS} = 0V$, $A_v = 26dB$, $T_a = 25^\circ C$, $C_{IN} = 0.1\mu F$, ACF-Off模式, 除非特殊说明

参数	符号	条件		最小值	典型值	最大值	单位	
输出功率	P_O	$R_L = 4\Omega$	$f = 1kHz$, THD+N=10%		2×9.5		W	
		$R_L = 8\Omega$			2×5.3			
		$R_L = 4\Omega$,	$f = 1kHz$, THD+N=1%		2×7.6			
		$R_L = 8\Omega$			2×4.3			
总谐波失真加噪声	THD+N	$P_O = 0.1W$	$R_L = 4\Omega$, $f = 1kHz$		0.22		%	
		$P_O = 1.0W$			0.30		%	
		$P_O = 3.0W$			0.30		%	
输出噪声	V_N	$f = 20Hz \sim 20kHz$, A加权			160		μV_{rms}	
信噪比	SNR	A加权, $A_v = 26dB$, THD+N = 1%			91		dB	
失调电压	V_{OS}				± 6.5		mV	
效率	η	$R_L = 4\Omega + 22\mu H$, THD+N = 10%			87		%	
		$R_L = 8\Omega + 33\mu H$, THD+N = 10%			93		%	
静态电流	I_{DD}	No Load	Input Grounded		21		mA	
		With Load ^{*5}			27.5		mA	
关断电流	I_{SD}	No Load	CTRL= V_{SS}		1.0		μA	
		With Load ^{*5}			1.0		μA	
最大输入信号	V_{IN_max}	$f_{IN} = 1kHz$, THD+N $\leq 10\%$, ACF-1 ON			1.85		V _{rms}	
系统增益	A_{V0}	$R_{IN} = 56k\Omega$			25.5		dB	

注5: 此处负载使用4 \times JTM8410m+22 μ JTM8410来模拟喇叭, 下同。

$V_{DD} = 7.2V$, $V_{SS} = 0V$, $A_v = 26dB$, $T_a = 25^\circ C$, $C_{IN} = 0.1\mu F$, ACF-Off模式, 除非特殊说明

参数	符号	条件		最小值	典型值	最大值	单位	
输出功率	P_O	$R_L = 4\Omega$	$f = 1kHz$, THD+N=10%		2×6.75		W	
		$R_L = 8\Omega$			2×3.8			
		$R_L = 4\Omega$,	$f = 1kHz$, THD+N=1%		2×5.45			
		$R_L = 8\Omega$			2×3.1			
总谐波失真加噪声	THD+N	$P_O = 0.1W$	$R_L = 4\Omega$, $f = 1kHz$		0.25		%	
		$P_O = 1.0W$			0.21		%	
		$P_O = 3.0W$			0.30		%	
输出噪声	V_N	$f = 20Hz \sim 20kHz$, A加权			150		μV_{rms}	
信噪比	SNR	A加权, $A_v = 26dB$, THD+N = 1%			91		dB	
失调电压	V_{OS}				± 14		mV	
静态电流	I_{DD}	No Load	Input Grounded		15		mA	
		With Load ^{*5}			23		mA	
关断电流	I_{SD}	No Load	CTRL= V_{SS}		0.5		μA	
		With Load ^{*5}			0.5		μA	
最大输入信号	V_{IN_max}	$f_{IN} = 1kHz$, THD+N $\leq 10\%$, ACF-1 ON			1.50		V _{rms}	
系统增益	A_{V0}	$R_{IN} = 56k\Omega$			25.5		dB	

$V_{DD} = 6.5V$, $V_{SS}=0V$, $A_v=26dB$, $T_a=25^\circ C$, $C_{IN}=0.1\mu F$, ACF-Off模式, 除非特殊说明

参数	符号	条件		最小值	典型值	最大值	单位	
输出功率	P_o	$R_L=4\Omega$	$f=1kHz$, THD+N=10%		2×5.5		W	
		$R_L=8\Omega$			2×3.1			
		$R_L=4\Omega$,	$f=1kHz$, THD+N=1%		2×4.45			
		$R_L=8\Omega$			2×2.5			
总谐波失真加噪声	THD+N	$P_o=0.1W$	$R_L=4\Omega$, $f=1kHz$		0.25		%	
		$P_o=1.0W$			0.20		%	
		$P_o=3.0W$			0.35		%	
输出噪声	V_N	$f=20Hz\sim 20kHz$, A加权			150		μV_{rms}	
信噪比	SNR	A加权, $A_v=26dB$, THD+N = 1%			90		dB	
失调电压	V_{OS}				±16		mV	
效率	η	$R_L=4\Omega+22\mu H$, THD+N = 10%			88		%	
		$R_L=8\Omega+33\mu H$, THD+N = 10%			93		%	
静态电流	I_{DD}	No Load	Input Grounded		13		mA	
		With Load ^{*5}			21		mA	
关断电流	I_{SD}	No Load	CTRL= V_{SS}		0.5		μA	
		With Load ^{*5}			0.5		μA	
最大输入信号	V_{IN_max}	$f_{IN} = 1kHz$, THD+N≤10%, ACF-1 ON			1.35		V _{rms}	
系统增益	A_{V0}	$R_{IN}=56k\Omega$			25.7		dB	

$V_{DD} = 5.0V$, $V_{SS}=0V$, $A_v=26dB$, $T_a=25^\circ C$, $C_{IN}=0.1\mu F$, ACF-Off模式, 除非特殊说明

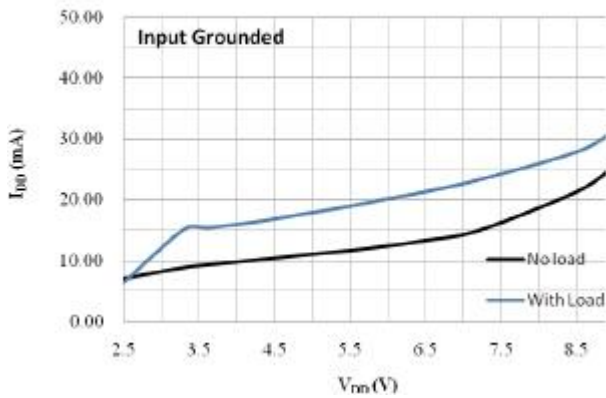
参数	符号	条件		最小值	典型值	最大值	单位	
输出功率	P_o	$R_L=4\Omega$	$f=1kHz$, THD+N=10%		2×3.25		W	
		$R_L=8\Omega$			2×1.8			
		$R_L=4\Omega$,	$f=1kHz$, THD+N=1%		2×2.6			
		$R_L=8\Omega$			2×1.5			
总谐波失真加噪声	THD+N	$P_o=0.1W$	$R_L=4\Omega$, $f=1kHz$		0.18		%	
		$P_o=1.0W$			0.15		%	
输出噪声	V_N	$f=20Hz\sim 20kHz$, A加权			150		μV_{rms}	
信噪比	SNR	A加权, $A_v=26dB$, THD+N = 1%			87		dB	
失调电压	V_{OS}				±15		mV	
静态电流	I_{DD}	No Load	Input Grounded		11		mA	
		With Load ^{*5}			18		mA	
关断电流	I_{SD}	No Load	CTRL= V_{SS}		0.5		μA	
		With Load ^{*5}			0.5		μA	
最大输入信号	V_{IN_max}	$f_{IN} = 1kHz$, THD+N≤10%, ACF-1 ON			1.0		V _{rms}	
系统增益	A_{V0}	$R_{IN}=56k\Omega$			25.7		dB	

$V_{DD} = 3.6V$, $V_{SS} = 0V$, $A_v = 26dB$, $T_a = 25^\circ C$, $C_{IN} = 0.1\mu F$, ACF-Off模式, 除非特殊说明

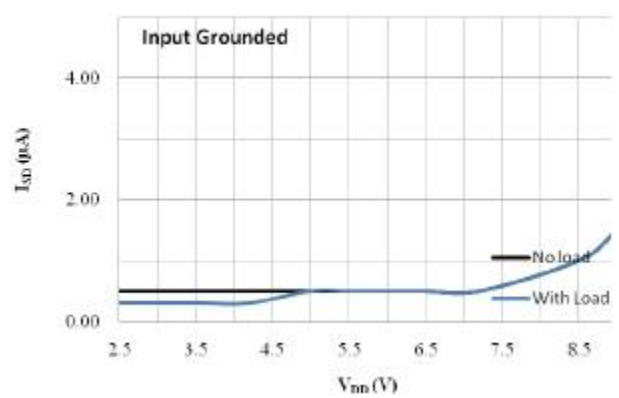
参数	符号	条件	最小值	典型值	最大值	单位
输出功率	P_o	$R_L = 4\Omega$	f=1kHz, THD+N=10%	2×1.6		W
		$R_L = 8\Omega$		2×0.95		
		$R_L = 4\Omega$,	f=1kHz, THD+N=1%	2×1.3		
		$R_L = 8\Omega$		2×0.75		
总谐波失真加噪声	THD+N	$P_o = 0.1W$	$R_L = 4\Omega$, f=1kHz	0.15		%
		$P_o = 1.0W$		0.15		%
输出噪声	V_N	f=20Hz~20kHz, A加权		140		μV_{rms}
信噪比	SNR	A加权, $A_v = 26dB$, THD+N = 1%		85		dB
失调电压	V_{OS}			±13		mV
效率	η	$R_L = 4\Omega + 22\mu H$, THD+N = 10%		86.5		%
		$R_L = 8\Omega + 33\mu H$, THD+N = 10%		91.5		%
静态电流	I_{DD}	No Load	Input Grounded	9		mA
		With Load ^{*5}		15.5		mA
关断电流	I_{SD}	No Load	CTRL= V_{SS}	0.5		μA
		With Load ^{*5}		0.3		μA
最大输入信号	V_{IN_max}	f _{IN} = 1kHz, THD+N≤10%, ACF-1 ON		0.70		V _{rms}
系统增益	A_{V0}	$R_{IN} = 56 k\Omega$		25.8		dB

■ 典型特性曲线

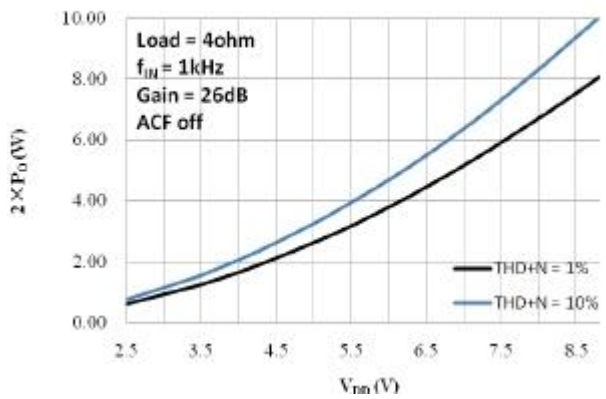
V_{DD} vs I_{DD}



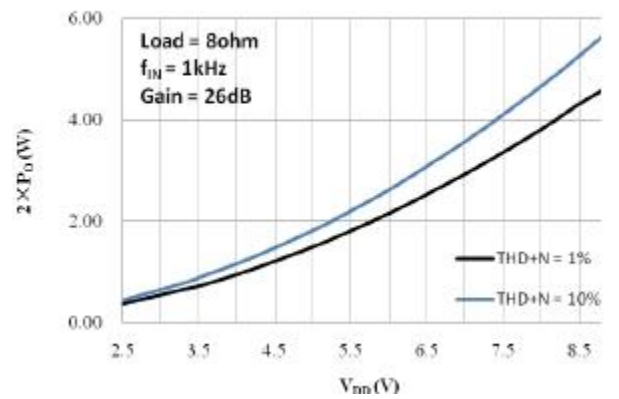
V_{DD} vs I_{SD}



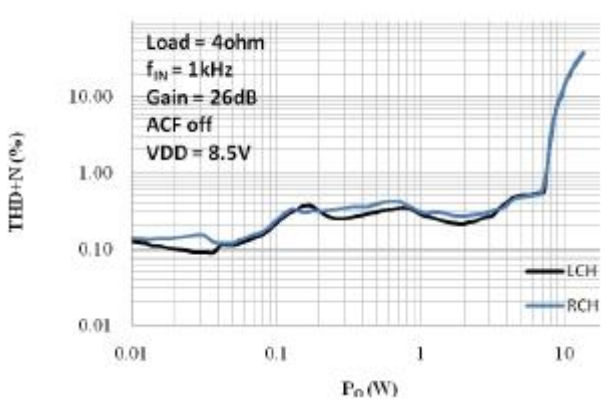
V_{DD} vs P_O



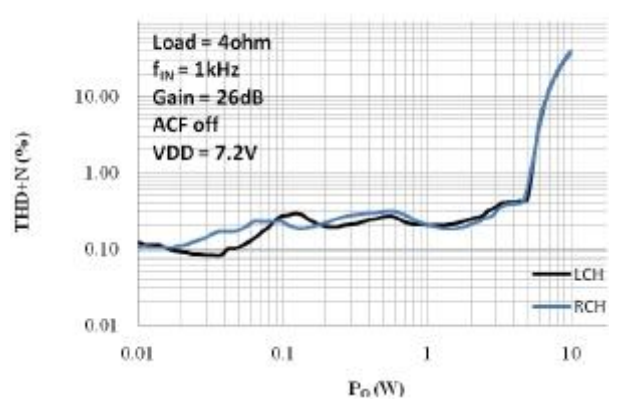
V_{DD} vs P_O



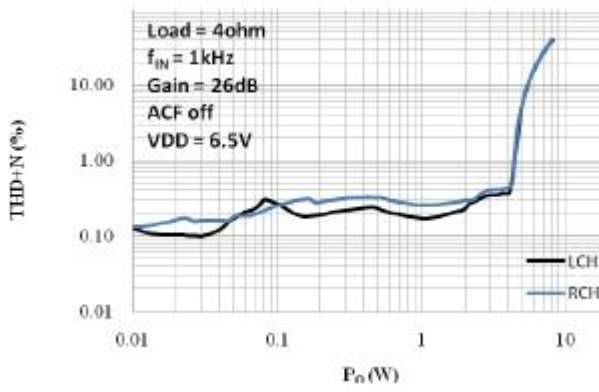
P_O vs THD+N



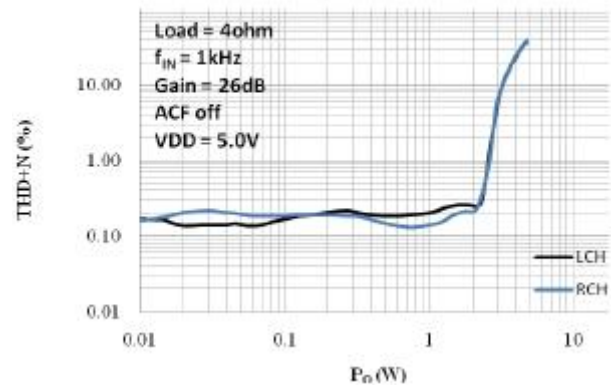
P_O vs THD+N



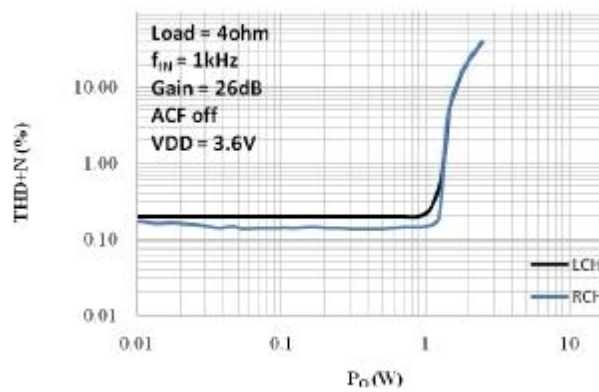
P_O vs THD+N



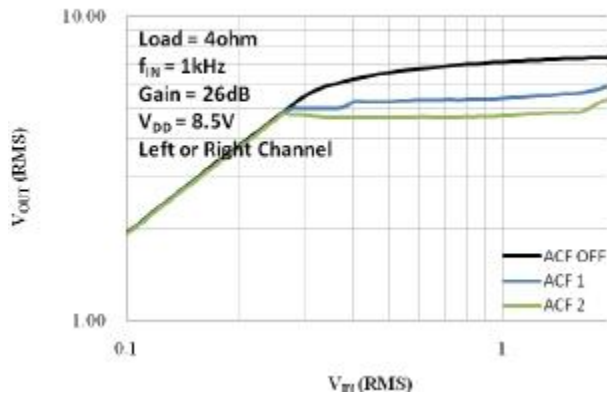
P_O vs THD+N



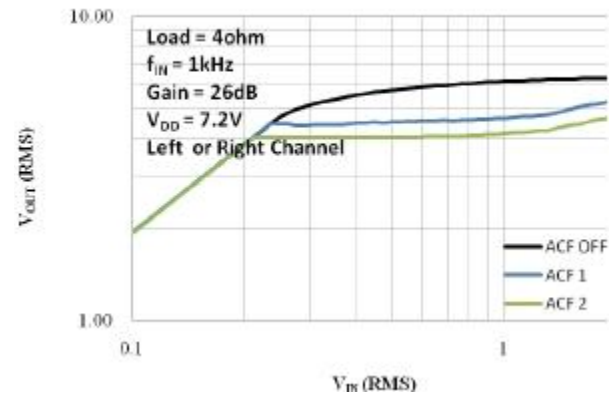
P_O vs THD+N



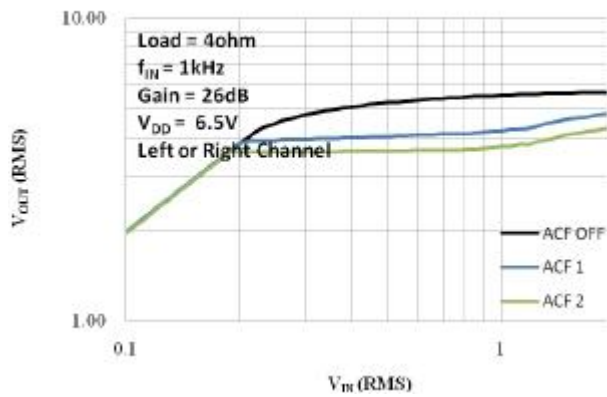
V_{IN} vs V_{OUT}



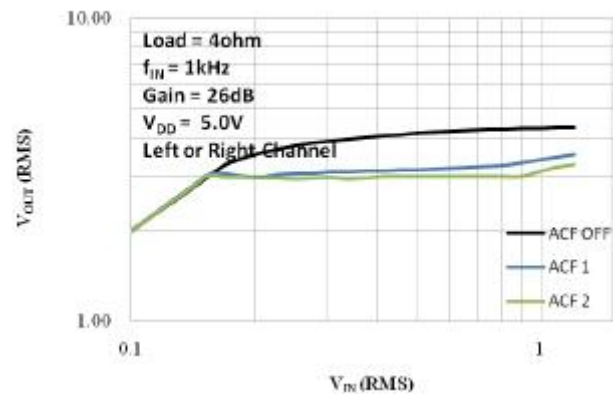
V_{IN} vs V_{OUT}

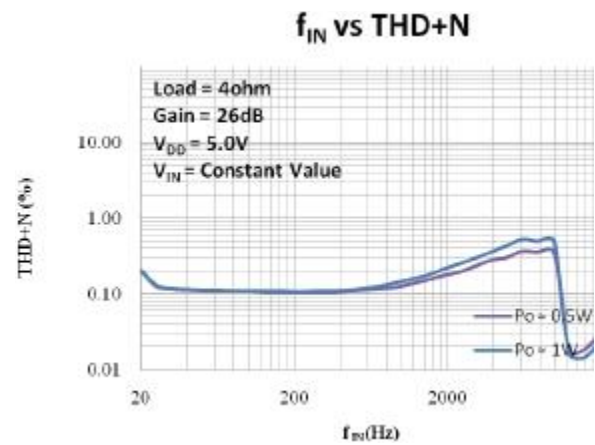
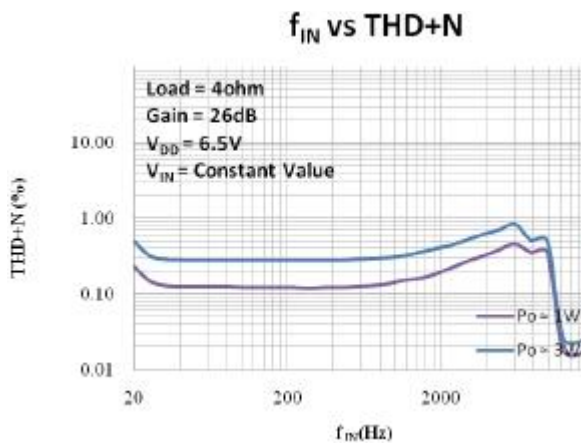
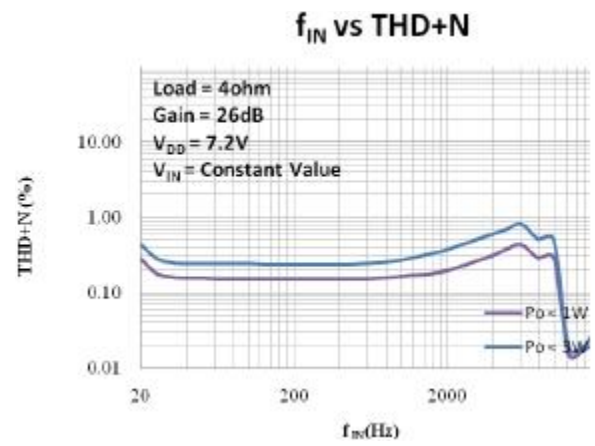
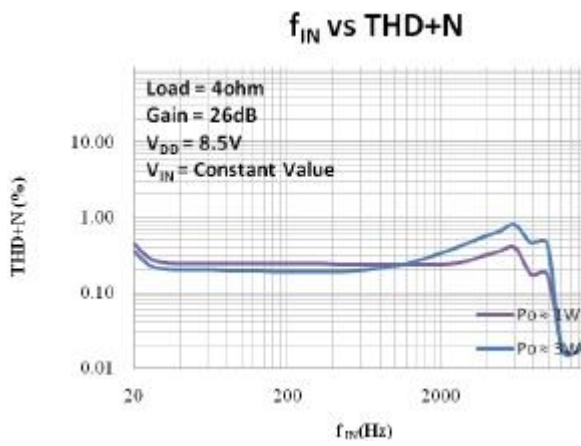
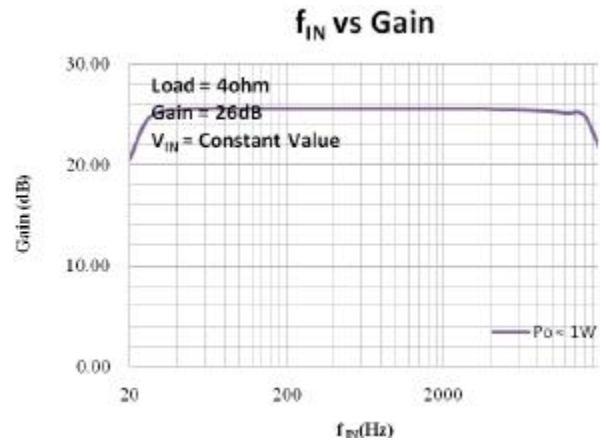
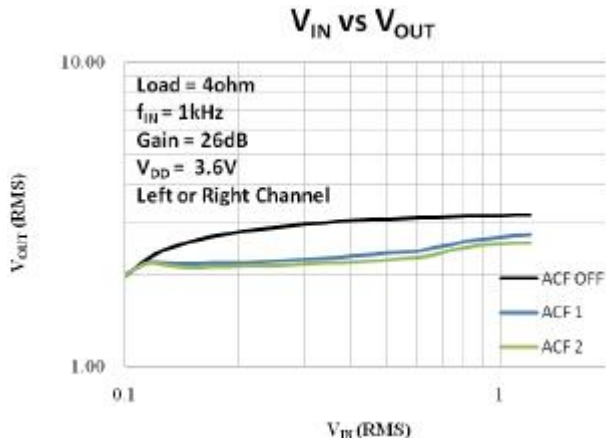


V_{IN} vs V_{OUT}

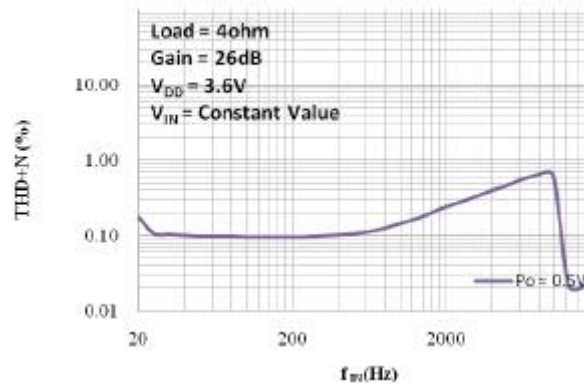


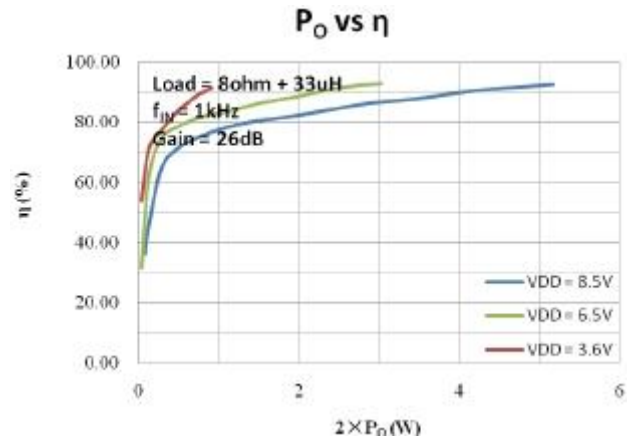
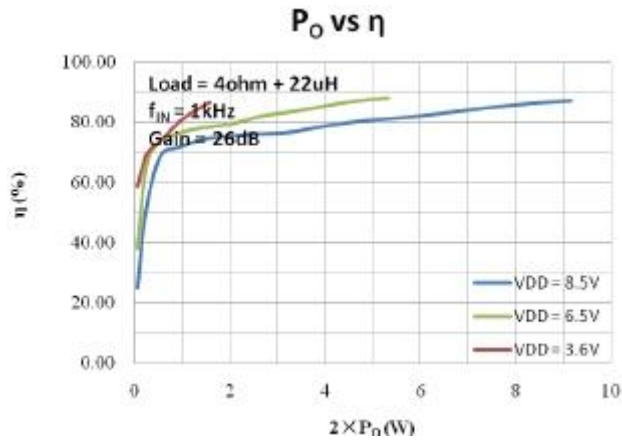
V_{IN} vs V_{OUT}





f_{IN} vs THD+N





■ 功能描述及应用信息

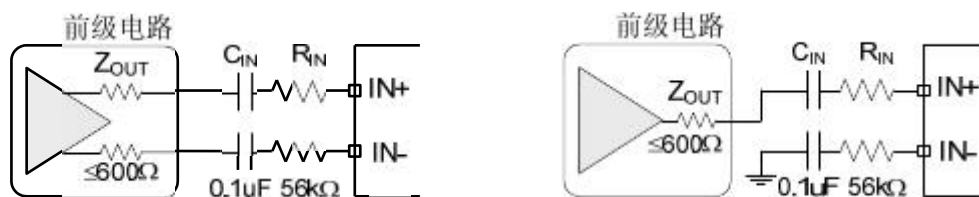
● 输入配置

JTM8410接受模拟差分或单端音频信号输入，产生 PWM 脉冲输出信号驱动扬声器。

对差分输入，通过隔直电容 C_{IN} 和输入电阻 R_{IN} 分别输入到 $IN+$ 和 $IN-$ 端。系统增益 $A_v=1150k/R_{IN}$ ，输入 RC 高通滤波器的截止频率 $f_c = 1/(2\pi R_{IN}C_{IN})$ 。

对单端输入，则通过 C_{IN} 耦合到 $IN+$ 端。 $IN-$ 端必须通过输入电阻和电容（与 C_{IN} 、 R_{IN} 值相同）接地。增益 A_v 和截止频率 f_c 与差分输入时相同。

注意系统前级电路的输出阻抗 Z_{OUT} 应不超过 600Ω 。



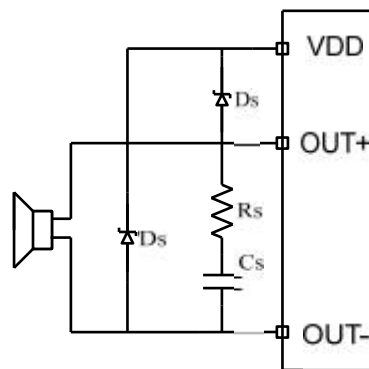
图表 1 (1) 差分输入;

(2) 单端输入

● 功放输出

一般而言，输出端可直接连接负载喇叭。如果输出端的输出线较长，或者对EMI的要求较高，则可选择添置铁氧体磁珠或LC滤波器。

另外，如果电源电压较大 ($>8.5V$)，纹波较严重，或输入信号幅度较大 ($\ge 1.0V_{rms}$)，或负载喇叭阻抗较小 ($<4\Omega$) 时，有必要适当增大电源端电容（至少 $100\mu F$ 以上），并在输出端加入 Snubber 电路和肖特基二极管（如图2），防止芯片异常。



图表 2 输出端的连接

推荐参数:

R_s : $1.5 \sim 2\Omega$;

C_s : $330pF \sim 680pF$;

D_s : 正向平均电流 $\ge 2A$; 正向浪涌峰值电流 $\ge 6A$; 正向电压 ($I_F=1A$) $\le 0.38V$ 。

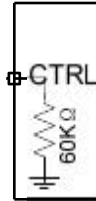
● CTRL 模式设置

在 CTRL 端输入不同电压值，能实现 4 种工作模式，即防削顶模式 1 (ACF-1)，防削顶模式 2 (ACF-2)，防削顶功能关闭模式 (ACF-Off) 和芯片关断模式 (SD)，详见下表。

表格 1 CTRL 引脚不同模式设置的输入电压

参数名	符号	最小值	典型值	最大值	单位
ACF-Off 模式的设置阈值电压	V _{MOD1}	0.75V _{DD}		V _{DD}	V
ACF-1 模式的设置阈值电压	V _{MOD2}	0.45V _{DD}		0.70V _{DD}	V
ACF-2 模式的设置阈值电压	V _{MOD3}	0.10V _{DD}		0.40V _{DD}	V
SD 模式的设置阈值电压	V _{MOD4}	V _{SS}		0.06V _{DD}	V

在配置 CTRL 端外部电压时，需要注意的是，其内部有一个 60KΩ JTM8410m 下拉电阻，如下图所示。

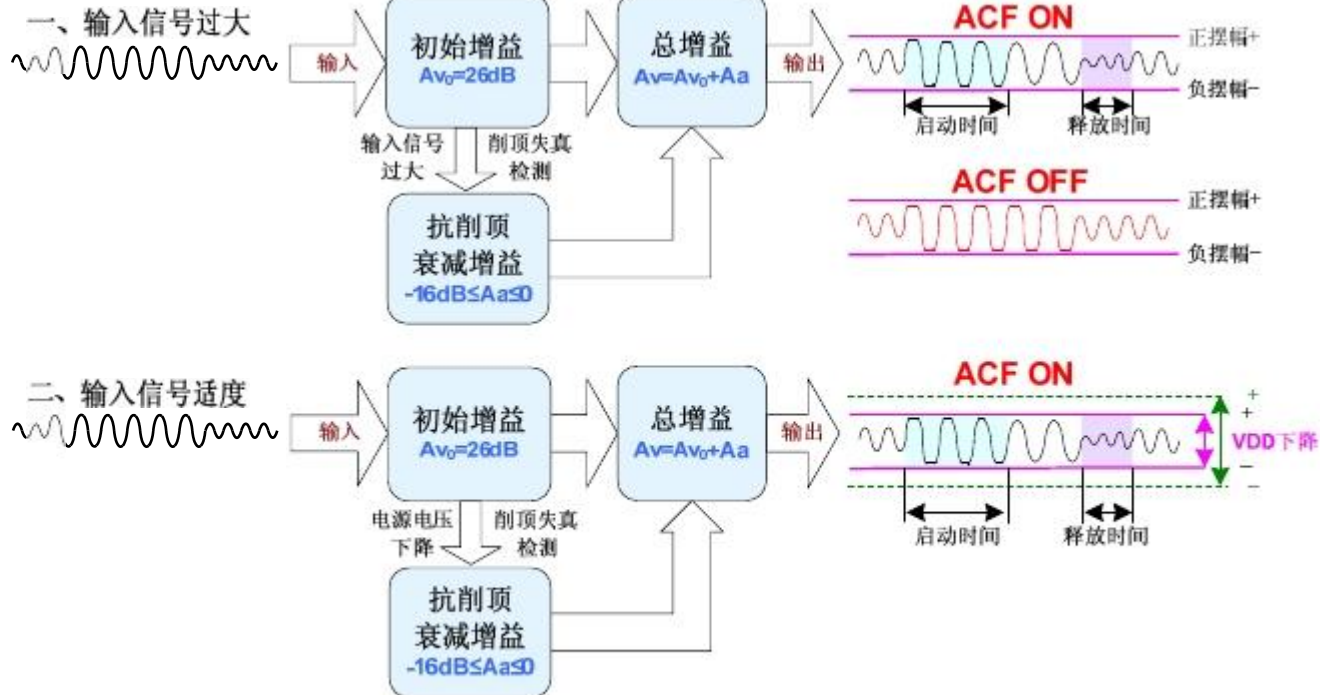


图表 3 CTRL 端内部电阻

● CTRL 模式功能描述

(一) ACF ON 模式

在 ACF-1、ACF-2 模式下，当电路检测到输入信号幅度过大而产生输出削顶时，通过自动调整系统增益，控制输出达到一种最大限度的无削顶失真功率水平，由此大大改善了音质效果。此外，当电源电压下降时，也能自动衰减输出增益，实现与 V_{DD} 下降值相匹配的最大限度无削顶输出水平。



图表 4 ACF 工作原理示意图

ACF ON 模式下的启动时间 (Attack time) 指在突然输入足够大信号而产生输出削顶的条件下，从 ACF 启动对放大器的增益调整，直到增益从 A_{v0} 衰减至距目标衰减增益 3dB 时的时间间隔；释放时间 (Release time) 指从产生削顶的输入条件消失，到增益退出衰减状态恢复到 A_{v0} 的时间间隔。JTM8410 的最大衰减增益为 16dB。

ACF-1 和 ACF-2 模式具有不同的启动时间和释放时间 (见下表)。

表格 2 ACF-1 和 ACF-2 模式区别

模式	启动时间	释放时间
ACF-1	50ms	64ms
ACF-2	2.5ms	1200ms

(二) ACF OFF 模式

在 ACF-Off 模式下，ACF 功能被关闭，JTM8410 不对输出削顶条件作检测，也不对系统增益作自动调整操作，系统增益保持为 $A_v=A_{v0}=26\text{dB}$ 恒定不变。JTM8410 可能因输出存在破音失真而音质变坏。

(三) SD 模式

在关断模式（低功耗待机）下，芯片关闭所有功能并将功耗降低到最小，输出端为弱低电平状态（内部通过高阻接地）。

● 咔嗒-噼噗声消除

JTM8410 内置控制电路实现了全面的杂音抑制效果，有效地抑制住了系统在上电、下电、关断及其唤醒操作过程中出现的瞬态咔嗒-噼噗（Click-Pop）噪声。

为达到更优异的咔嗒-噼噗声消除效果，一般情况下，建议采用 $0.1\mu\text{F}$ 或更小的隔直电容 C_{IN} 。同时 POP 噪声还可通过下列上电、下电时关断模式的时序控制措施来达到杂声微乎其微的效果：

- 电源上电时，保持关断模式，等电源足够稳定后再解除关断模式。
- 电源下电时，提前设为关断模式。

● 保护功能

JTM8410 具有以下几种保护功能：输出端过流保护、片内过温保护、电源欠压异常保护。

(1) 过流保护

当检测到一输出端对电源、对地、或对另一输出端短路时，过流保护启动，输出端切换至高阻态，防止芯片烧毁损坏。短路情况消除后，通过关断、唤醒一次芯片，或重新上电均能使芯片退出保护模式。

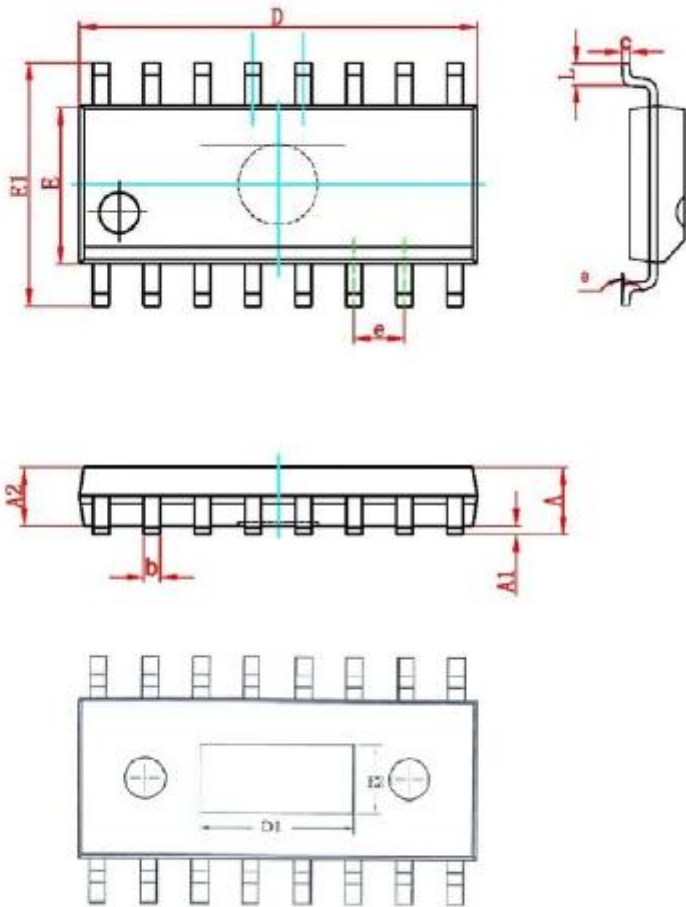
(2) 过温保护

当检测到芯片内温度超过 150°C 时，过温保护启动，正负输出端切换至弱低电平状态（内部通过高阻接地），防止芯片被热击穿损坏。

(3) 欠压保护

当检测到电源端 VDD 低于 V_{UVLL} (1.9V)，启动欠压保护，输出端为弱低电平状态（内部通过高阻接地）；当检测到 VDD 高于 $V_{UVLJTM8410}$ (2.2V)，保护模式自动解除，经启动时间 T_{STUP} 后进入正常工作状态。

■ 封装外形



符号	尺寸 (mm)	
	最小	最大
A	-	1.75
A1	0.05	0.15
A2	1.30	1.50
b	0.39	0.48
c	0.21	0.26
D	9.70	10.10
D1	4.57(REF)	
E	3.70	4.10
E1	5.80	6.20
E2	2.41(REF)	
e	1.27(BSC)	
L	0.50	0.80
θ	0°	8°